

01.5;13.2

## Особенности развития электрогидродинамической неустойчивости границы расплавленного металла в сильном электрическом поле

© С.А. Баренгольц<sup>1,2</sup>, Н.М. Зубарев<sup>2,3</sup>, Е.А. Кочурин<sup>3</sup><sup>1</sup> Институт общей физики им. А.М. Прохорова РАН, Москва, Россия<sup>2</sup> Физический институт им. П.Н. Лебедева РАН, Москва, Россия<sup>3</sup> Институт электрофизики УрО РАН, Екатеринбург, Россия

E-mail: nick@ier.uran.ru

Поступило в Редакцию 15 сентября 2023 г.

В окончательной редакции 9 ноября 2023 г.

Принято к публикации 9 ноября 2023 г.

Исследована динамика развития неустойчивости свободной границы жидкого металла (расплавленной меди) в сильном электрическом поле напряженностью порядка  $10^8$  В/см. При таких локальных полях происходит плавление естественных выступов субмикронного масштаба на поверхности катода за счет протекания через них автоэмиссионного тока. Электрогидродинамическая неустойчивость границы расплава приводит к заострению границы, что обеспечивает локальное усиление электрического поля и, как следствие, ускоряет процессы вакуумного пробоя. Продемонстрировано, что особенностью электрогидродинамической неустойчивости в рассматриваемых условиях является необходимость учитывать вязкие эффекты. Для их описания предложена относительно простая нелинейная модель.

**Ключевые слова:** электрогидродинамическая неустойчивость, расплавленный металл, вакуумный пробой.

DOI: 10.61011/PJTF.2024.03.57042.19731

Исследования физических процессов, приводящих к вакуумному пробую, получили новый импульс в развитии в связи с разработкой ускорительной техники тераваттного уровня мощности [1]. Именно вакуумный пробой ускорительной структуры при воздействии на нее электромагнитных импульсов наносекундной длительности является главной проблемой на пути достижения высоких ускорительных градиентов [2]. Исследование наносекундного вакуумного пробоя показало [3], что его основным механизмом является образование проводящей среды (плазмы) на катоде из-за разогрева автоэмиссионным током высокой плотности микровыступов с наиболее высокими коэффициентами  $\beta$  усиления электрического поля. Анализ разогрева медных микровыступов показал [4,5], что напряженность поля на их вершинах для реализации этого механизма в ускорительных структурах [1] составляет порядка  $10^8$  В/см (для характерных значений  $\beta = 50-100$  это соответствует макроскопическому полю  $1-2$  МВ/см).

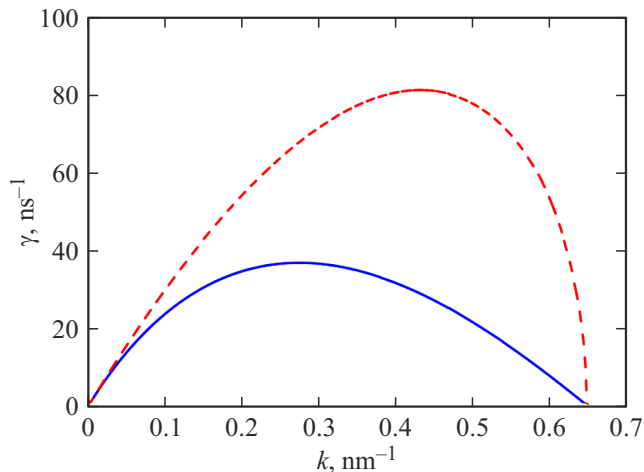
Цель настоящей работы — проанализировать особенности развития электрогидродинамической (ЭГД) неустойчивости [6,7] поверхности расплавленного металла в сильных полях порядка  $10^8$  В/см. Эта неустойчивость определяет тенденцию к неограниченному заострению поверхности. В результате после плавления микровыступа будут меняться его геометрические параметры (увеличиваться  $\beta$ ) и, как следствие, ускоряться предпробойные процессы.

Начнем анализ с оценок, которые продемонстрируют, в чем состоит специфика развития ЭГД-неустойчивости расплавленного металла в полях, на три порядка превышающих порог неустойчивости  $E_c = (4\epsilon_0^{-2}\rho g\alpha)^{1/4}$  [7],

где  $\epsilon_0$  — электрическая постоянная,  $\rho$  — плотность,  $g$  — ускорение свободного падения,  $\alpha$  — коэффициент поверхностного натяжения (для жидкой меди  $E_c \approx 8.5 \cdot 10^4$  В/см). Будем для простоты считать границу жидкости в невозмущенном состоянии плоской. Функция  $\eta$  задает ее возмущение — отклонение от плоскости. При анализе неустойчивостей границы  $\eta$  ищется в виде плоской волны:  $\eta(x, t) \propto \exp(ikx - i\omega t)$ , где  $x$  — координата,  $t$  — время,  $k > 0$  — волновое число,  $\omega$  — частота. Линейная (соответствующая условию малости углов наклона) динамика границы описывается дисперсионным соотношением (связью между величинами  $\omega$  и  $k$ ), которое для несжимаемой невязкой идеально проводящей жидкости во внешнем однородном поле напряженностью  $E$  имеет вид [7]:

$$\rho\omega^2 = -\epsilon_0 E^2 k^2 + \alpha k^3. \quad (1)$$

Из (1) видно, что  $\omega$  — мнимая в области относительно малых волновых чисел  $0 < k < k_c \equiv \epsilon_0 E^2 / \alpha$ , что соответствует аperiодической неустойчивости границы (при  $k > k_c$  капиллярные силы подавляют дестабилизирующее влияние электростатических сил). Развитие неустойчивости приводит (на ее нелинейных стадиях) к формированию конических острий с углом раствора  $98.6^\circ$  — конусов Тейлора [8,9]. Наиболее быстро развиваться неустойчивость будет для волнового числа  $k_d = 2k_c/3$  (доминантная мода неустойчивости), которое определяет масштаб конических образований как  $\lambda_d = 2\pi/k_d \propto E^{-2}$ . Характерное время развития неустойчивости (время, за которое амплитуда возмущения увеличивается в  $e \approx 2.718$  раз) есть  $\tau_d = 1/\gamma_d \propto E^{-3}$ , где  $\gamma_d = \text{Im}\omega(k_d)$  — инкремент



**Рис. 1.** Зависимость инкремента ЭГД-неустойчивости  $\gamma$  от волнового числа  $k$  с учетом (сплошная линия) и без учета (штриховая линия) вязких эффектов. Поле  $E = E_v \approx 9.8 \cdot 10^7$  V/cm; жидкая медь при температуре плавления.

неустойчивости. Как видно,  $\lambda_d$  и  $\tau_d$  быстро убывают с ростом  $E$ . Уменьшение характерных масштабов задачи неизбежно приведет к тому, что приближение идеальной жидкости перестанет работать и необходимо будет учитывать вязкость среды (см., например, [9,10]). Согласно расчетам [10], вязкие эффекты приводят к уменьшению угла формирующегося конуса. Отметим также фактор дополнительного нагрева металла при его быстрых деформациях за счет вязкого трения.

Покажем, что в полях порядка  $10^8$  V/cm роль вязких эффектов становится сравнимой с ролью капиллярных эффектов, а также обсудим, как это повлияет на динамику развития неустойчивости. Закон дисперсии с учетом вязкости можно получить, взяв известную формулу для гравитационных волн [11] и сделав в ней формальную замену  $\rho g k \rightarrow -\varepsilon_0 E^2 k^2 + \alpha k^3$ , соответствующую тому, что вместо силы тяжести мы будем рассматривать электростатические и капиллярные силы. Получим (здесь  $\nu$  — кинематическая вязкость)

$$\rho(2\nu k^2 - i\omega)^2 - \varepsilon_0 E^2 k^2 + \alpha k^3 = 4\rho\nu^{3/2} k^3 \sqrt{\nu k^2 - i\omega}. \quad (2)$$

Из анализа (2) следует, что можно ввести характерное значение напряженности поля  $E_v = \alpha\nu^{-1}\varepsilon_0^{-1/2}\rho^{-1/2}$ , зависящее лишь от параметров жидкости, такое, что при  $E \ll E_v$  вязкими эффектами можно пренебречь, а при  $E \gg E_v$  именно они будут определять динамику неустойчивости. При сопоставимых с  $E_v$  полях реализуется наиболее сложный случай, когда вязкие силы будут сравнимы с электростатическими и капиллярными. Для жидкой меди при температуре плавления можно взять  $\rho = 8.0 \cdot 10^3$  kg/m<sup>3</sup>,  $\alpha = 1.3$  N/m,  $\nu = 5.0 \cdot 10^{-7}$  m<sup>2</sup>/s. Находим  $E_v \approx 9.8 \cdot 10^7$  V/cm, что в точности попадает в интересующий нас диапазон полей.

Рассмотрим, как развивается ЭГД-неустойчивость при полях порядка  $E_v$ . Будем интересоваться описывающими развитие аperiodической неустойчивости решениями закона дисперсии (2). Это соответствует тому, что  $\omega = i\gamma$ , где  $\gamma > 0$  — инкремент неустойчивости. На рис. 1 для  $E = E_v$  штриховой и сплошной линиями показаны зависимости  $\gamma$  от  $k$  без учета и с учетом вязкости (формулы (1) и (2) соответственно). Видно, что наш вывод о существенном влиянии вязких эффектов на развитие неустойчивости при таком поле верен. Волновое число доминантной моды ( $k_d$ ) уменьшается в 1.6 раза, а соответствующий инкремент ( $\gamma_d$ ) — в 2.2 раза. Характерный пространственный и временной масштабы при этом составляют  $\lambda_d \approx 23$  nm и  $\tau_d \approx 27$  ps. Диапазон волновых чисел, для которых поверхность неустойчива, остается неизменным (масштаб более  $2\pi/k_c \approx 10$  nm). Применительно к расплаву, образующемуся на вершине катодного выступа, можно для оценок отождествить радиус вершины острия  $R$  с четвертью длины волны, что дает  $R > 2-6$  nm. Эти размеры коррелируют с рассмотренными в [12], где методом молекулярной динамики моделировалась деформация вершины катодного острия с  $R = 1-10$  nm. При  $R > 3$  nm пороговое значение поля, при котором начиналось вытягивание медного нановыступа, находилось в диапазоне  $(10.5-11.5) \cdot 10^7$  V/cm, т.е. близко к значению  $E_v$ . Согласно расчетам [12], вытягивание происходило за времена в десятки-сотни пикосекунд при высоких температурах, значительно превышающих температуру плавления. Рассмотренный нами ЭГД-механизм заострения вершины выступа не требует достижения высоких температур, причем может реализовываться при меньших полях (см. далее) в случае увеличения масштаба области расплава с единиц до десятков нанометров.

При разработке нелинейной модели развития неустойчивости важно, чтобы связь  $\gamma$  и  $k$  описывалась максимально простым выражением. Так, в пределе  $k \ll k_c$  имеем линейную зависимость  $\gamma \approx \varepsilon_0^{1/2} \rho^{-1/2} E k$ , что позволило в [13] построить модель, описывающую нелинейную эволюцию границы вплоть до формирования на ней сингулярностей — точек с бесконечной кривизной. Для вязкой жидкости мы сталкиваемся с той трудностью, что выражение для закона дисперсии (2) является весьма громоздким и неразрешимо относительно частоты (инкремента). Однако, как выясняется, описываемая (2) связь  $\gamma$  и  $k$  в частном случае  $E = E_v/2$  прекрасно аппроксимируется параболической зависимостью

$$\gamma \approx \alpha(2\rho\nu)^{-1}k - 2\nu k^2. \quad (3)$$

На рис. 2 показаны точная зависимость  $\gamma(k)$  (сплошная линия) и задаваемая (3) аппроксимация (штриховая линия). Как видно, выражение (3), несмотря на свою простоту, отражает все основные особенности точного закона дисперсии во всем определяющем развитие неустойчивости диапазоне волновых чисел  $0 < k < k_c$ . Это чрезвычайно важно при анализе нелинейных стадий

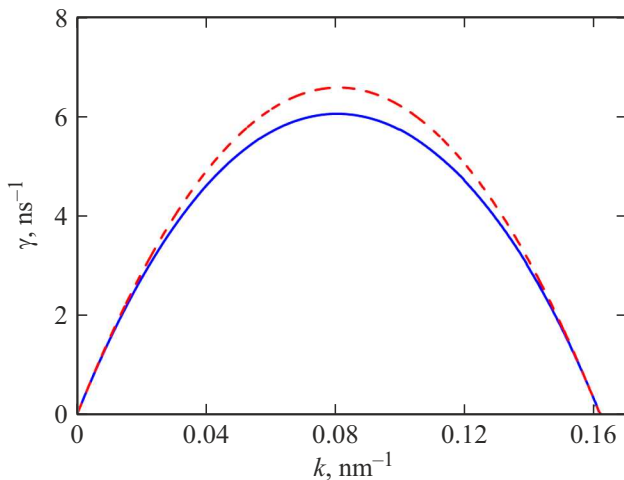
неустойчивости, на которых происходит перекачка энергии из крупномасштабных гармоник в мелкомасштабные; именно этот процесс приводит к формированию острий.

Мы предлагаем при  $E = E_v/2$  для описания развития ЭГД-неустойчивости в случае плоской симметрии задачи использовать следующую нелинейную модель:

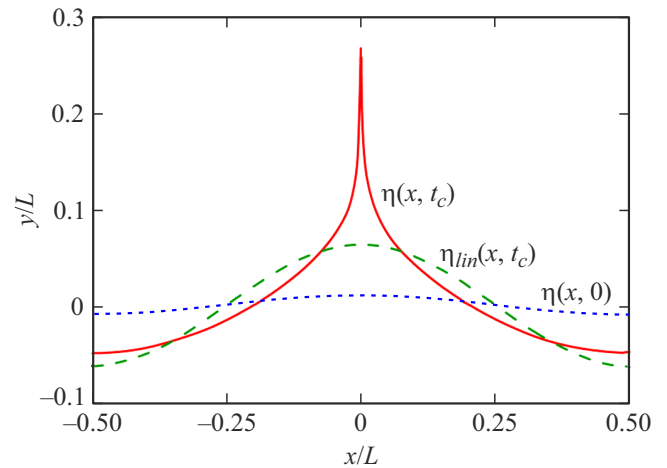
$$\eta_t = -\alpha(2\rho\nu)^{-1}\hat{H}\eta_x + 2\nu\eta_{xx} + \alpha(4\rho\nu)^{-1}[(\hat{H}\eta_x)^2 - (\eta_x)^2]. \quad (4)$$

Здесь  $\eta_t$  и  $\eta_x$  обозначают частные производные по  $t$  и  $x$  соответственно;  $\hat{H}$  — оператор Гильберта, обладающий свойством  $\hat{H}e^{ikx} = i\text{sgn}(k)e^{ikx}$ . Линейная часть (4) соответствует приближенному закону дисперсии (3) и позволяет адекватно учесть влияние и электростатических, и капиллярных, и вязких сил. Нелинейная часть (4) соответствует модели из работы [13], в которой учитывались только электростатические силы.

Рассмотрим в рамках модельного уравнения (4) динамику формирования сингулярности на свободной границе жидкости. Считаем, что жидкость занимает ограниченную в пространстве область  $-L/2 \leq x \leq L/2$ . Исходную форму границы зададим как  $\eta(x, 0) = A \cos(2\pi x/L)$  с  $L = 360 \text{ nm}$  (применительно к расплаву на вершине острия это соответствует радиусу около  $100 \text{ nm}$ ) и амплитудой  $A = 0.01 L$ . Уравнение (4) решалось численно на основе спектральных методов с числом гармоник  $N = 8096$ . Вследствие специфики используемой методики граничные условия по пространству брались периодическими. Интегрирование по времени проводилось явным методом Рунге–Кутты четвертого порядка точности с шагом  $dt = 2.2 \cdot 10^{-15} \text{ s}$ . Эволюция возмущения границы продемонстрирована на рис. 3. Видно, что происходит неограниченное заострение поверхности за конечное время — к моменту  $t = t_c \approx 0.73 \text{ ns}$ . Это время не определяется напрямую доминантной модой



**Рис. 2.** Зависимость инкремента ЭГД-неустойчивости  $\gamma$  от волнового числа  $k$  для точного закона дисперсии (сплошная линия) и параболической аппроксимации (штриховая линия). Поле  $E = E_v/2 \approx 4.9 \cdot 10^7 \text{ V/cm}$ ; жидкая медь при температуре плавления.



**Рис. 3.** Эволюция поверхности расплавленного металла в рамках нелинейной модели (4). Пунктирная линия соответствует начальному моменту времени  $t = 0$ , сплошная — моменту формирования особенности  $t = t_c$ . Для сравнения штриховой линией показана форма границы в момент  $t = t_c$  для ситуации, когда ее эволюция описывается в рамках линейного приближения (в уравнении (4) выброшены нелинейные члены). Поле  $E = E_v/2 \approx 4.9 \cdot 10^7 \text{ V/cm}$ ; жидкая медь при температуре плавления.

неустойчивости, для которой характерное время значительно меньше: оно составляет  $\sim 0.16 \text{ ns}$  (рис. 2). Время  $t_c$  складывается из времени нарастания амплитуды основной гармоники с  $k = 2\pi/L$  (соответствующее характерное время составляет  $\sim 0.41 \text{ ns}$ ) и времени перекачки энергии из основной гармоники в доминантную за счет их нелинейного взаимодействия. Масштаб формирующегося острия можно оценить как ширину области, в которой тангенс угла наклона превышает единицу. Она составила  $\sim 30 \text{ nm}$ , что ожидаемо близко к половине длины доминантной моды ( $\sim 40 \text{ nm}$ ).

Также на рис. 3 штриховой линией показано решение линеаризованного уравнения (4) к моменту  $t = t_c$ . Из сравнения линейного и нелинейного решений ясно, что нелинейные слагаемые в (4) ускоряют развитие неустойчивости, и именно они обуславливают формирование сингулярности. Таким образом, модель (4), несмотря на ее относительную простоту, демонстрирует тенденцию к заострению границы и, как следствие, к росту коэффициента усиления поля  $\beta$ . В связи с тем, что этот рост происходит при полях на вершине микровыступа субмикронного размера меньше пробивных, можно сделать вывод, что плавление вершины неизбежно приведет к ускорению вакуумного пробоя.

### Финансирование работы

Исследование выполнено за счет гранта Российского научного фонда № 20-19-00323 (<https://rscf.ru/project/20-19-00323/>).

## Конфликт интересов

Авторы заявляют, что у них нет конфликта интересов.

## Список литературы

- [1] *A Multi-TeV linear collider based on CLIC technology*, CLIC conceptual design report, ed. by M. Aicheler, P. Burrows, M. Draper, T. Garvey, P. Lebrun, K. Peach, N. Phinney, H. Schmickler, D. Schulte, N. Toge (CERN, Geneva, 2012), CERN-2012-007. DOI: 10.5170/CERN-2012-007
- [2] W. Wuensch, *Advances in the understanding of the physical processes of vacuum breakdown*, CLIC-Note-1025 (CERN, Geneva, 2013), CERN-OPEN-2014-028
- [3] G.A. Mesyats, D.I. Proskurovsky, *Pulsed electrical discharge in vacuum* (Springer, Berlin, 1989).
- [4] I.V. Uimanov, D.L. Shmelev, S.A. Barenholts, *J. Phys. D: Appl. Phys.*, **54** (6), 065205 (2021). DOI: 10.1088/1361-6463/abc213
- [5] С.А. Баренгольц, Г.А. Месяц, *УФН*, **193** (7), 751 (2023). DOI: 10.3367/UFNr.2022.02.039163 [S.A. Barenholts, G.A. Mesyats, *Phys. Usp.*, **66** (7), 704 (2023). DOI: 10.3367/UFNe.2022.02.039163].
- [6] L. Tonks, *Phys. Rev.*, **48** (6), 562 (1935). DOI: 10.1103/PhysRev.48.562
- [7] Я.И. Френкель, *ЖЭТФ*, **6** (4), 348 (1936).
- [8] G.I. Taylor, *Proc. R. Soc. Lond. A.*, **280** (1382), 383 (1964). DOI: 10.1098/rspa.1964.0151
- [9] V.G. Suvorov, N.M. Zubarev, *J. Phys. D: Appl. Phys.*, **37** (2), 289 (2004). DOI: 10.1088/0022-3727/37/2/019
- [10] T.G. Albertson, S.M. Troian, *Phys. Fluids*, **31** (10), 102103 (2019). DOI: 10.1063/1.5123742
- [11] Л.Д. Ландау, Е.М. Лифшиц, *Теоретическая физика* (Наука, М., 1986), т. VI [L.D. Landau, E.M. Lifshitz, *Fluid mechanics. Course of theoretical physics* (Pergamon Press, 2013), vol. 6].
- [12] X. Gao, A. Kyrtsakis, M. Veske, W. Sun, B. Xiao, G. Meng, Y. Cheng, F. Djurabekova, *J. Phys. D: Appl. Phys.*, **53** (36), 365202 (2020). DOI: 10.1088/1361-6463/ab9137
- [13] Н.М. Зубарев, *ЖЭТФ*, **114** (6), 2043 (1998). [N.M. Zubarev, *JETP*, **87** (6), 1110 (1998). DOI: 10.1134/1.558601].